

## О ГЕОХИМИЧЕСКИХ ОСОБЕННОСТЯХ УРАЛЬСКИХ ГОРНБЛЕНДИТОВ

И.А. Готтман

Петро-геохимические особенности главных типов пород, слагающих дунит-клинопироксенит-габбровые и габбровые массивы, подробно изложены в многочисленных статьях и монографиях, посвященных Платиноносному поясу Урала. Менее изученными на современном геохимическом уровне остались горнблендиты. Цель наших исследований – восполнить этот пробел.

Горнблендиты, практически мономинеральные амфиболовые породы, главным образом развиты в дунит-клинопироксенит-габбровых комплексах, которые типичны для платиноносной и офиолитовой ассоциации Урала. К первой ассоциации относятся массивы Платиноносного пояса Урала: Кытлымский, Качканарский, Тагильский, Первоуральский. В них горнблендиты формируют линзообразные, жилообразные тела, тесно пространственно ассоциированные с клинопироксенитами и габброридами дунит-клинопироксенит-габбровой серии Платиноносного пояса Урала [Ферштатер и др., 1999], по объему отвечающей эпидунитовой группе [Ефимов, Ефимова, 1967; Ефимов,

1984]. Кроме того, горнблендиты образуют дайки мощностью до 0,5 м, секущие крупные дунитовые тела массивов Платиноносного пояса (Кытлымский, Качканарский), которые имеют свое собственное название – иситы (которое и будет использоваться в статье). Примером второй ассоциации является Восточно-Хабарниковский дунит-клинопироксенит-габбровый комплекс, расположенный в восточной части Хабаринского мафит-ультамафитового массива. Породы комплекса по петро-геохимическим параметрам сходны с породами массивов Платиноносного пояса Урала [Варлаков, 1978; Петрология постгарцбургитовых..., 1991]. Горнблендиты здесь отмечаются в сложных по составу кольцевых интрузивах (200-500 м в поперечнике), известных под общим названием молостовский клинопироксенит-габбро-гранитный комплекс [Ферштатер, Пушкарев, 1987; Постгарцбургитовые..., 1991; Пушкарев, Ферштатер, 1995]. Горнблендиты в пределах интрузивов образуют линзообразные тела и штоки. Кроме того, так же как в массивах Платиноносного пояса, в Восточно-Хабаринском комплексе на-

блюдаются жильные тела горнблендитов (мощностью до 2-3 м), секущие дуниты. По сравнению с платиноносными массивами, они распространены гораздо шире, формируя серии параллельных даек.

Геохимическое изучение горнблендитов выявило ряд интересных особенностей. Несмотря на однотипный состав и близкие петрохимические особенности, горнблендиты разделились на две группы по содержанию РЗЭ (рис.1 а, б). Первая группа образована идентичными по форме кривыми для горнблендитов из массивов Платиноносного пояса. Кривые распределения демонстрируют обеднение легкими и тяжелыми РЗЭ относительно средних (отношение  $\text{La}_N/\text{Yb}_N$  около 1,1), при отсутствующей или слабо положительной европиевой аномалии. Ко второй группе относятся горнблендиты Восточно-Хабарнинской комплекса, которые, в целом, – сохраняют форму кривых рас-

пределения РЗЭ, но по сравнению с платиноносными в 3-5 раз обогащены РЗЭ и характеризуются более высоким  $\text{La}_N/\text{Yb}_N=2,6$ . Разделение горнблендитов на две группы по уровню концентраций, но с сохранением геометрии тренда распределения РЗЭ, по-видимому, следует объяснить тем, что они являются продуктами одного и того же субстрата, в разной степени обогащенного или обедненного РЗЭ, а не продуктами разных источников с изначально разными содержаниями РЗЭ.

Дайковые разности горнблендитов демонстрируют несколько иное положение кривых распределения РЗЭ. В Хабарнинском массиве по суммарному содержанию РЗЭ иситы совпадают с кривыми, характерными для горнблендитов этого же массива (рис.1в). Иситы массивов Платиноносного пояса отличаются от горнблендитов более высоким содержанием всего спектра РЗЭ ( $\text{La}_N/\text{Yb}_N=2,4$ ), что в целом по сум-

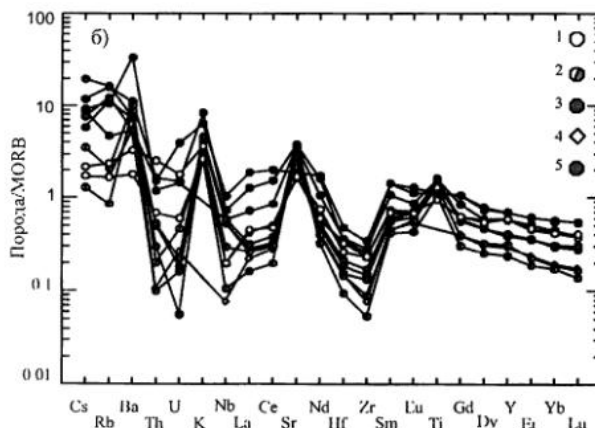
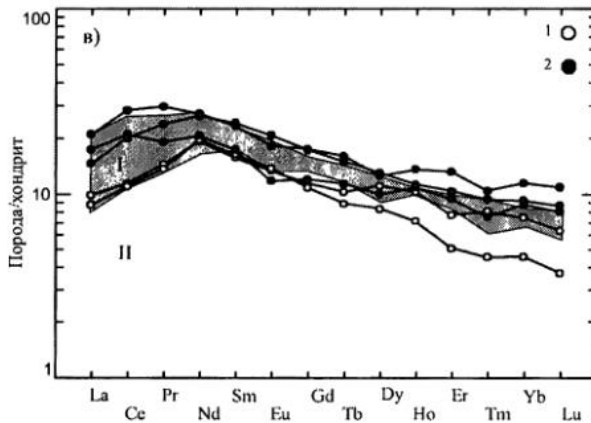
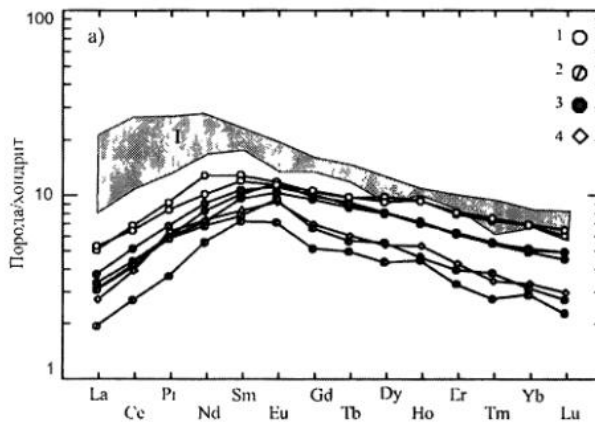


Рис.1. Распределение редких и редкоземельных элементов в горнблендитах.

а, б: Горнблендиты из массивов: 1 – Кытлымский, 2 – Тагильский, 3 – Первоуральский, 4 – Качканарский, 5 – Хабарнинский. I – поле составов горнблендитов Хабарнинского массива. Состав хондрита, использованного для нормирования здесь, и на последующих диаграммах по [Sun S., 1989].

в: Жильные горнблендиты: 1 – Кытлымский и Качканарский массивы, 2 – Хабарнинский массив. I – поле составов горнблендитов Хабарнинского массива, II – поле составов горнблендитов из Кытлымского, Качканарского, Тагильского, Первоуральского массивов.

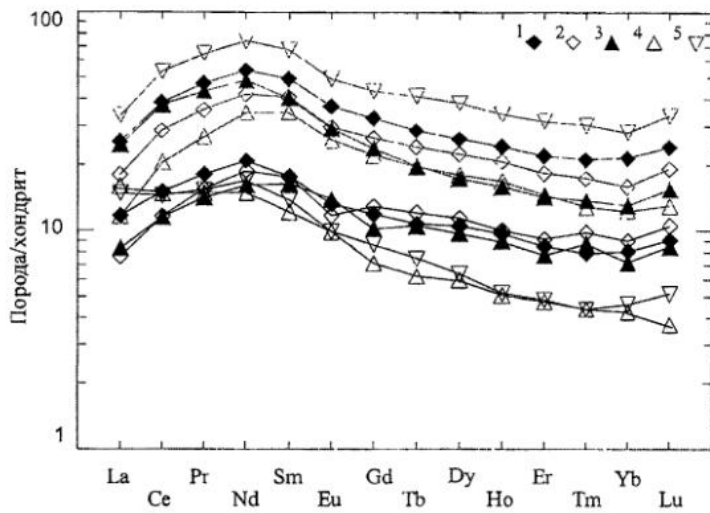
Рис. 2. Распределение РЗЭ в вебстеритах и меланогабброидах и амфиболах из этих пород Хабарнинского массива.

Породы: вебстериты – 1, 2, меланогабброиды – 3, 4, 5; светло-серым (соответственно) обозначены составы амфиболов из этих пород.

ме приближает их к горнблендитам и иситам Восточно-Хабарнинского комплекса (рис. 1в). Отмечаемое различие по уровню концентраций горнблендитов и иситов из массивов Платиноносного пояса хорошо интерпретируется тем, что дайковые разности обычно обогащены в области легких и средних РЗЭ.

Характер распределения РЗЭ в горнблендитах показывает, что они имеют обычное для амфиболов повышенное содержание редкоземельных элементов средней части спектра [Кокс, 1982; Интерпретация..., 2001] (рис. 1а, б). Амфибол является минералом концентратором промежуточных РЗЭ. Это означает, что даже умеренное количество амфибала может существенно влиять на форму графика распределения РЗЭ. В пользу такого вывода свидетельствует распределение редких и редкоземельных элементов в амфиболе и породе, наблюдаемое в вебстеритах и амфиболовых меланогабброидах (с содержанием амфибала 10-30 % и 40-60 % соответственно) Восточно-Хабарнинского комплекса. Как хорошо видно на рис. 2, форма кривых распределения РЗЭ в амфиболе практически идентична форме кривых породы, отличаясь лишь более высоким (в 2-3 раза) содержанием всех редких и редкоземельных элементов. Эффект обогащения в средней части спектра и обеднение в области легких и тяжелых РЗЭ могут давать и клинопироксены, хотя содержания в них существенно ниже, чем в амфиболе. Аналогичный тренд распределения РЗЭ может возникать и благодаря сферу [Интерпретация..., 2001]. Следовательно, геометрия тренда распределения РЗЭ в горнблендитах в сумме определяется достаточно стабильным минеральным парагенезисом: Amf ± Cpx ± Ttn.

Для горнблендитов характерно отсутствие европиевой аномалии при ярко выраженной положительной стронциевой. Ответствен-



ным за положительную стронциевую аномалию в горнблендитах, вероятно, - является амфибол. В пользу этого свидетельствует несколько фактов. В беспластиковых породах амфибол является главным концентратором стронция в породе, что наглядно было показано в работе [Пушкирев, Ферштатер, 1995]. К тому же между нормативным содержанием плагиоклаза и стронция в горнблендите существует прямая линейная зависимость, а между модальным содержанием плагиоклаза и стронция она отсутствует, т.е. основная часть стронций в породе сконцентрирована в амфиболе.

Наблюданное на рис. 1б контрастное поведение более мобильных крупноионных литофильных элементов (положительные аномалии) и менее подвижных высокозарядных элементов (отрицательные аномалии), связано с тем, что содержание крупноионных литофильных элементов контролируется флюидной фазой [Кокс, 1982; Интерпретация..., 2001], участие которой в формировании практически мономинеральных амфиболовых пород не вызывает сомнений.

Отмеченные положительные аномалии бария, калия, стронция и других крупноионных литофильных элементов в горнблендитах характерны для всех пород дунит-клинопироксенит-габбровой серии Платиноносного пояса, что, по данным [Ферштатер, 1995], - свойственно породам, формирующими в надсубдукционной обстановке и подтверждает предположение [Иванов, Шмелев, 1996] о связи дунит-клинопироксенит-габбровых массивов с субдукцией.

На протяжении всей истории изучения платиноносной ассоциации, мнение о генезисе горнблендитов менялось в зависимости от общих взглядов на образование зональных дунит-

клинопироксенит-габбровых массивов. Существующие мнения можно свести к двум противоположным точкам зрения: по одной из них горнблендиты есть результат различных метаморфических преобразований базитов, по другой – продукт кристаллизационной дифференциации обогащенного летучими расплава. Наши данные, а также анализ опубликованных в последнее время геологических и петрологических данных, свидетельствуют в пользу магматического происхождения горнблендитов.

*Работа выполнена при финансовой поддержке РФФИ, грант 01-05-65184 и гранта Президента РФ «Поддержка ведущих научных школ»: НШ - 85.2003.5.*

#### *Список литературы*

*Варлаков А.С. Петрография, петрохимия и геохимия гипербазитов Оренбургского Урала. М.: Наука, 1978. 240 с.*

*Ефимов А.А. Габбро-гипербазитовые комплексы Урала и проблема оphiолитов. М.: Наука, 1984. 232с.*

*Ефимов А.А., Ефимова Л.П. Кытлымский платиноносный массив. М.: Недра, 1967. 355 с.*

*Иванов К.С., Шмелев В.Р. Платиноносный пояс Урала – магматический след ранне палеозойской зоны субдукции // ДАН. 1996. Т. 347. № 5. С. 649-652.*

*Интерпретация геохимических данных/ Скляров и др Под ред. Е.В.Склярова – М.: Интермет инженеринг, 2001. 288с.*

*Кокс К.Г., Белл Дж.Д., Панкхерст Р.Дж. Интерпретация изверженных пород М.: Наука, 1982. 414 с.*

*Петрология постгарцибургитовых интрузивов Кемпирско-Хабаринской офиолитовой ассоциации (Южный Урал) / Балыкин П.А., Конников Э.Г., Кривенко А. П. и др. Свердловск: УрО АН СССР, 1991. 160 с.*

*Пушкирев Е.В., Ферштатер Г.Б. Минералого-петрохимическая дискретность пород и проблема происхождения первичных расплавов дунит-клинопироксенит-габбровых комплексов // Актуальные проблемы магматической геологии, петрологии и рудообразования. Екатеринбург: УрО РАН, 1995. С. 100-119.*

*Ферштатер Г.Б., Беа Ф., Пушкирев Е.В. и др. Новые данные по геохимии платиноносного пояса Урала: вклад в понимание петrogenезиса // Геохимия. 1999. № 4. С. 352-370.*

*Sanssi R., Harte B., Carswell D.A., Yujing H. Trace element distribution in Central Dabie Eklogites // Contribs Mineral. and Petrol. 2000. V. 139. P. 298-315.*

*Sun S.-S., McDonough W.F. Chemical and isotopic systematic of oceanic basalts: implications for mantle composition and processes // A.D. Sandes and M.J. Norty (Editors), Magmatism in the Ocean Basins. Geol. Soc. London Spe. Publ. 42. 1989. P. 313-345.*